

Dr. SIMON GYULA  
BME Híradástechnikai Elektronika Intézet

## Analóg integrált áramkörök termikus- elektromos kölcsönhatásainak számítógépes vizsgálata

ETO 621.3.017.7:621.3.049.77:681.335

Az integrált áramkörön belüli eszközök elektromos paraméterei a chipen belüli hőmérsékleteloszlás függvényében változnak. A hőmérsékleteloszlást viszont a disszipáció és a hűtési viszonyok határozzák meg. Ez a kölcsönös csatolásban levő elektromos-termikus folyamat módosítja az áramkör sztatikus és dinamikus karakterisztikáit [4], [9]. A sztatikus karakterisztika módosulásának figyelembevétele bipoláris tranzisztoros áramkörök kisáramú tranzisztorainál a kollektoráram hőmérsékletfüggésére vezethető vissza [5]:

$$I_c = \frac{q \cdot A_E \cdot n_{i0}^2}{Q_B / D_B} \exp\left(\frac{q U_{BE} - E_g}{kT}\right),$$

ahol  $A_E$  az emitter felülete,  $n_{i0}$  az intrinsic félvezető hőegyensúlyi állapotában a szabad lyukak és elektronok száma,  $Q_B$  a bázis többségi töltéshordozóinak száma felületegységre vonatkoztatva,  $D_B$  a bázisbeli kisebbségi töltéshordozók diffúziós állandója,  $U_{BE}$  a „belső” bázis-emitter dióda feszültsége,  $E_g$  a tiltott sáv szélessége. A hőmérsékletfüggés leglényegesebb forrása az exponenciális tagban szereplő  $T$  abszolút hőmérséklet. A hőmérsékletet viszont a jelentősen disszipáló elemek szabják meg. A másik problémakör a disszipáló elemek helyi hőmegfűtése (pl. a teljesítménytranzisztoroké). Ebben az esetben az elektromos-termikus kölcsönhatás maradandó károsodáshoz vezethet [5].

Mindkét fenti problémakörre vonatkozóan bonyolítja a helyzetet, hogy az elektromos viselkedést külső tényezők is befolyásolják (tápellátás, meghajtás, terhelés).

Műveleti erősítők DC és kisfrekvenciás jellemzőit általában erőteljesen befolyásolja a hőviszacsatolási jelenség és ezt az ilyen áramkörök analizálásánál, illetve tervezésénél feltétlenül figyelembe kell venni [4], [9].

A hőkapacitás disszipációs viszonyok megváltozásához képest késleltetést okoz a hőmérsékletváltozásban. Ennek alapján aluláteresztő jellegű szűrőkarakterisztikák valósíthatók meg. A bemeneti eszközök elektromos jellel vezérelhetők disszipációjuk, a kimeneti eszközök a hőmérsékletváltozást alakítják elektromos jellé; valamennyi elem természetesen közös szubsztráton helyezkedik el [1].

A fentiek alapján az volt a cél, hogy a feladatok és elrendezések sokfélesége mellett is jól használható termikus analízis program készüljön, mely a kölcsönhatások figyelembe vételére az adatok módosítási lehetőségein keresztül alkalmas.

### 1. A termikus leírás problémái

A hőszugárzást és konvekciós hűtést elhanyagoljuk. A háromdimenziós hővezetés parciális differenciálegyenlete jól ismert [5]:

$$\frac{\partial T}{\partial t} = \frac{1}{c \cdot \rho \cdot g} \left( \frac{\partial^2 T}{\partial x^2} + \frac{\partial^2 T}{\partial y^2} + \frac{\partial^2 T}{\partial z^2} \right) + \frac{p(x, y, z, t)}{c \cdot \rho}, \quad (1)$$

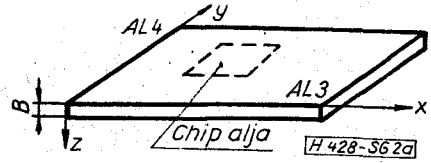
ahol  $T$  a hőmérséklet,  $g$  a fajlagos hővezetés [ $W/C^\circ m$ ],  $c$  a fajlagos hőkapacitás [ $Ws/C^\circ kg$ ],  $\rho$  a sűrűség [ $kg/m^3$ ],  $p = \frac{\partial P}{\partial V}$  a fajlagos hődisszipáció [ $W/m^3$ ].

A legjelentősebb problémák, melyek (1) megoldását nehezítik, az alábbiak:

- 1.1  $g$  minden anyagra függ a hőmérséklettől. Szilíciumra például a 300...400 °K tartományban a hőmérséklettel közel fordított arányban változik [3].
- 1.2 A félvezető chip nem homogén. Az erősen szennyezett szilícium fajlagos hővezetése a tiszta szilíciuménak kb. ötödrésze és a szennyezéssűrűséggel folytonosan változik [7].
- 1.3 A fajlagos helyi disszipáció ( $p$ ) a helyi hőmérséklet és elektromos paraméterek függvénye [5].

1.4 Az elektromos makro-változók (tápegység, bemeneti jel) elektromos peremfeltételeket adnak, idő-, illetve hőmérsékletfüggők lehetnek.

Az elosztott jellegű, inhomogén és időfüggő általános parciális differenciálegyenlet, mely a csatolt elektromos-termikus rendszer viselkedését leírná, még viszonylag egyszerű peremfeltételek mellett is zárt alakban megoldhatatlan.

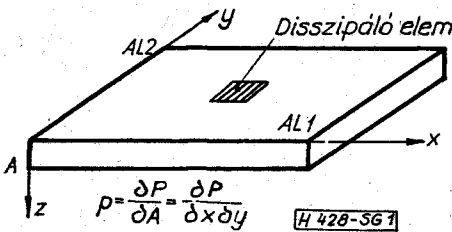


2a. ábra. Az alaplemez geometriája

2. Közelítések és ezek hatásai

2.1 A félvezető chip téglatest alakú (1. ábra).

2.2 Az integrált áramköri elemek z-irányú kiterjedése A-hoz képest elhanyagolhatóan kicsi. Így a disszipáló részeket a chip felületén értelmezett területegységre normált teljesítményükkel jellemezhetjük (1. ábra). A fe-



1. ábra

lületi szennyezettség 1.2 pont szerinti hatását elhanyagoljuk, vagyis a chip anyagát homogénnek tételezzük fel. Ezek az egyszerűsítő feltételek a helyi túlmelegedések pontos leírását igen durva hibával teszik csak lehetővé, mert a helyi hőmegfűtás először csak az erősen szennyezett kollektorbázis kiürített réteg kis szakaszán kezd létrejönni.

2.3 A fajlagos hővezetés hőmérsékletfüggését elhanyagoljuk.

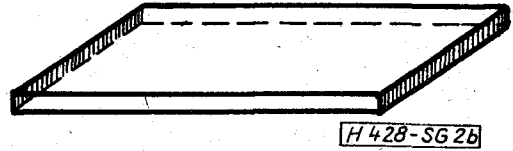
2.4 Az idő szerinti parciális derivált nulla (állandósult állapotot vizsgálunk).

2.5 A kivezető huzalokon át létrejövő hűtést, a sugárzási és konvekciós hőleadást elhanyagoljuk.

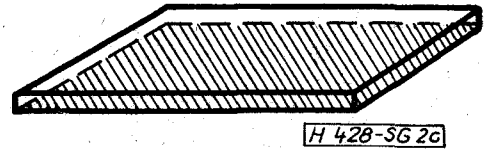
2.6 A téglatest alakú alaplemez a chip alsó síkjához csatlakozik ( $z=A$ ; l. az 1. ábrát). Az alaplemez egyes felületrészei ideális hűtőtesthez csatlakoznak. Három, többnyire az egyes esetekre jó közelítésnek tekinthető hűtési módot tüntet fel a 2a...2d ábrásor.

3. Peremfeltételek

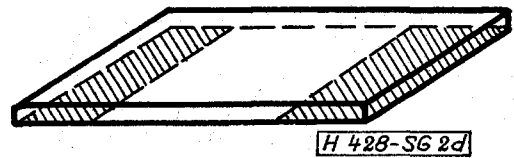
Az 1. és 2. ábra szerinti elrendezések határsíkjai a chip-alaplemez és alaplemez-hűtőtest érintkező felületeinek kivételével adiabatikusak vagy izotermálisak. Az elsőnek  $\frac{\partial T}{\partial n} = 0$  felel meg ( $\bar{n}$  a sík normális vektora), míg a második  $T = \text{konstans}$ -nak. A hő-



2b. ábra. A két oldallap hűtött



2c. ábra. Az alsó lap hűtött



2d. ábra. Az alsó lap részlegesen hűtött

források határfeltételként értelmezhetők; pl. az 1. ábra elrendezésére:

$$FS \frac{\partial T}{\partial z} \Big|_{z=0} = -p(x, y), \tag{2}$$

ahol  $FS$  a szilícium fajlagos hővezetése. A chip és alaplemez határfelületén:

$$FS \frac{\partial T}{\partial z} \Big|_{z=A^-} = FH \frac{\partial T}{\partial z} \Big|_{z=A^+}, \tag{3}$$

ahol  $FH$  az alaplemez fajlagos hővezetése.

A hővezetésre állandósult állapotban felírható kontinuitási egyenletet fejezi ki (2) és (3); mindkettő a felületegységre vonatkoztatott hőáram-sűrűséget adja meg. Az átmeneti hőellenállást állandó értékűnek tekintjük. Az 1. ábra szerinti elrendezésre például:

$$T|_{z=A^+} - T|_{z=A^-} = -AR1 \left( FS \frac{\partial T}{\partial z} \Big|_{z=A^-} \right), \tag{4}$$

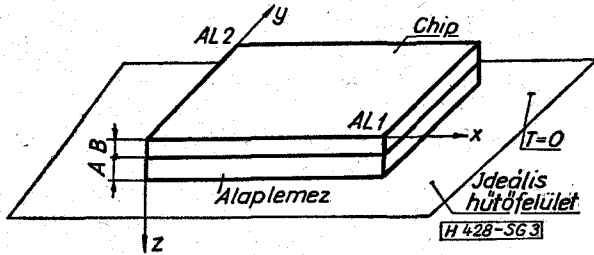
ahol  $AR1$  a chip és alaplemez közti fajlagos átmeneti hőellenállás. A 2c ábrán vázolt esetre hasonlóképpen:

$$T|_{z=(A+B)^-} = -AR2 \left( FH \frac{\partial T}{\partial z} \Big|_{z=(A+B)^-} \right), \tag{5}$$

ahol  $AR2$  az alaplemez és hűtőtest közötti fajlagos átmeneti hőellenállás.

4. A differenciálegyenlet megoldása

Először a 3. ábrán látható elrendezés viszonyaira keressük meg a megoldást, mely az [1] gondolatmenetét követi, csak egyes végeredmények helyesbítésével.



3. ábra

A Laplace egyenlet:

$$\frac{\partial^2 T}{\partial x^2} + \frac{\partial^2 T}{\partial y^2} + \frac{\partial^2 T}{\partial z^2} = 0 \quad \text{mindkét anyagban.}$$

A mi esetünkben

$$\left. \frac{\partial T}{\partial x} \right|_{x=0; x=AL1} = \left. \frac{\partial T}{\partial y} \right|_{y=0; y=AL2} = 0 \quad (6)$$

mind a chipre, mind az alaplemezre.

Valamely  $z = \text{konstans}$  síkban a hőmérséklet-eloszlás kétdimenziós Fourier-sor alakjában írható fel:

$$T(x, y, z) = \sum_{n,m} a_{nm}(z) \cdot \cos(n\pi x/AL1) \cos(m\pi y/AL2) \quad (7)$$

A koszinusz függvények ortogonális rendszert alkotnak a 0 és  $i\pi$  argumentumtartományban ( $i$  pozitív, egész szám).

$$K_2 = \frac{\text{ch}(AL \cdot A) + C[AR1 \cdot \text{ch}(AL \cdot A) + \text{sh}(AL \cdot A)] / (FS \cdot AL)}{AL \cdot FS \cdot \text{sh}(AL \cdot A) + C[\text{ch}(AL \cdot A) + AR1 \cdot FS \cdot AL \cdot \text{sh}(AL \cdot A)]}$$

ahol

$$C = \frac{AL \cdot FH \cdot \text{ch}(AL \cdot B) + AR2 \cdot FH \cdot AL \cdot \text{sh}(AL \cdot B)}{\text{sh}(AL \cdot B) + AR2 \cdot FH \cdot AL \cdot \text{ch}(AL \cdot B)}$$

Ha  $n=m=0$ , akkor  $\frac{\partial T}{\partial x} = \frac{\partial T}{\partial y} = 0$  minden pontban.

$$\text{így} \quad \frac{\partial^2 T}{\partial x^2} = \frac{\partial^2 T}{\partial y^2} = \frac{\partial^2 T}{\partial z^2} = 0.$$

A megoldások:

$$a_{00}(z) = K_2 + K_1 \cdot z \quad \text{a chipre és}$$

$$a'_{00}(z) = K'_2 + K'_1 \cdot z \quad \text{az alaplemezre, ahol}$$

$$K_1 = -\frac{1}{FS \cdot AL},$$

$$K_2 = \frac{A}{FS} + AR2 + AR1 + \frac{B}{FH}.$$

Ezen függvények jellegét a 4. és 5. ábra mutatja.

A felszínnel kezdve a disszipáció eloszlás nyilván felírható Fourier-sor alakjában:

$$P_{nm} = \int_0^{AL2} \int_0^{AL1} p(x, y) \cdot \cos(n\pi x/AL1) \cos(m\pi y/AL2) dx dy \quad (8)$$

(6) és (7) alapján  $AL^2 = (n\pi/AL1)^2 + (m\pi/AL2)^2$  bevezetésével:

$$\frac{\partial^2 a_{nm}}{\partial z^2} - AL^2 a_{nm}$$

$a_{nm}$ -re az általános megoldás:

$$a_{nm}(z) = K_1 \text{sh}(AL \cdot z) + K_2 \text{ch}(AL \cdot z), \quad (9a)$$

vagy

$$a_{nm}(z) = L_1 \exp(AL \cdot z) + L_2 \exp(-AL \cdot z). \quad (9b)$$

A (9a) összefüggésnek megfelelő megoldás:

$$a_{nm}(z) = K_{1nm} \text{sh}(AL \cdot z) + K_{2nm} \text{ch}(AL \cdot z)$$

a chipre, és

$$a'_{nm}(z) = K'_{1nm} \text{sh}(AL \cdot z) + K'_{2nm} \text{ch}(AL \cdot z)$$

az alaplemezre. Az együtthatók a (2), (3), (4) és (5) peremfeltétel figyelembevételével számíthatók. A számításához a  $p_{nm} = 1$  normálást vezetjük be. Az alaplemez-rendszer számításához érdemes új koordináta-rendszert felvenni, melynek origója az eredeti rendszer  $(0,0,A)$  pontja. Az eredmények nyilván egyenértékűek az eredeti koordináta-rendszerbeliekkel, de a kifejezések lényegesen egyszerűbbek. A végeredmények ( $n+m \neq 0$ ):

$$K_1 = \frac{-1}{FS \cdot AL},$$

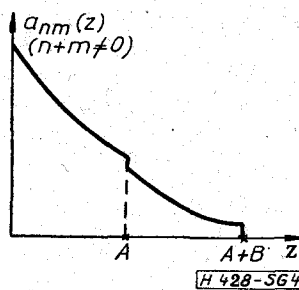
Így az eredő hőmérsékletfüggés a chip belsejében:

$$T(x, y, z) = \frac{4}{AL1 \cdot AL2} \sum_{n=0}^{\infty} \sum_{m=0}^{\infty} M_{nm} \frac{P_{nm}}{[1 + \text{sgn}(n)][1 + \text{sgn}(m)]} \cdot \cos(n\pi x/AL1) \cdot \cos(m\pi y/AL2) + K,$$

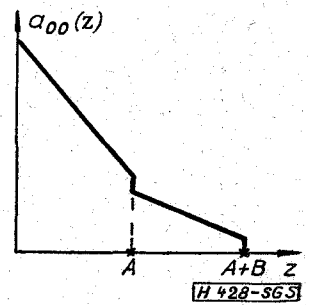
ahol

$$M_{nm} = K_{1nm} \text{sh}(AL \cdot z) + K_{2nm} \text{ch}(AL \cdot z).$$

$K$  a hűtőtest hőmérséklete.

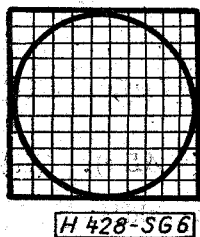


4. ábra

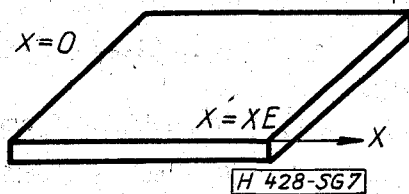


5. ábra

A felületi hőmérsékleteloszlás meghatározására Fortran nyelven írt analízis-program a disszipáló elemek felületelemeinek átlagos disszipációján kívül az egyes elemekre súlyozó tényezők megadását is lehetővé teszi, így nem derékszögű elrendezések figyelembevétele is lehetséges. A 6. ábra görbe körvonalú disszipáló elemét könnyen kezelhetjük: a négyzettrács azon elemeire, melyeket a felület nem fed le, a súlyozó függvény értéke 0. A program vég-eredményeként az átlaghőmérséklet és az egyes pontok hőmérsékletének ettől való eltérése külön-külön rendelkezésre áll.



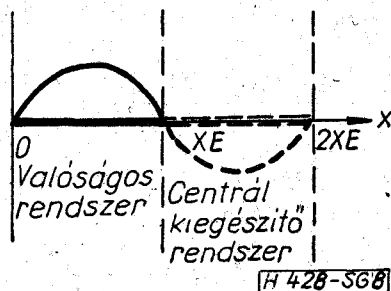
6. ábra



7. ábra

5. A többi elrendezés vizsgálata

5.1 Ha a hűtés oldalirányú (2b ábra), akkor a megfelelő tengelyirányban a sorfejtés koszinusz helyett szinuszos függvények szerint kell törtenjék. Minthogy a szinuszos függvény  $\pi$  páratlan többszöröseire nem ortogonális, fiktív centrál-szimmetrikus rendszerrel célszerű a valóságos rendszerünket kiegészíteni  $n=1$ -re pl. a 8. ábra szerint. Ezen tükör-rendszernek nincs fizikai tartalma.



8. ábra

5.2 Ha az alsó sík csak részlegesen hűtött, akkor a peremfeltételekben az izotermikus és adiabatikus résztartományokat kell figyelembe venni (2d ábra).

5.3 Ha a chip és alaplemez  $x$  és  $y$  irányú méretei különböznek, szukcesszív approximációk sorozata szükséges. Első lépésben a chip hőmérséklet eloszlását határozhatjuk meg úgy, hogy alsó határfelületét állandó hőmérsékletűnek tekintjük. A számított hőáram-sűrűség felhasználásával második lépésben az alaplemez felső felületének hőmérséklet eloszlását számolhatjuk. Ez képezi a chipre vonatkozó ismételt számítás új peremfeltételét. A sorozatot addig ismételjük, míg a csatlakozó felület

hőmérsékleteloszlása mindkét oldalról számolva rögzített hibahatáron belül megegyezik.

5.4 A helyi disszipáció értéke nyilván változó hőmérséklettel változik. Az eredeti disszipációtérkép hatására létrejövő hőmérsékleteloszlás meghatározása után ismételt korrekciók végezhetők [5]. Ha az ismételt ciklusok (lehetséges kvázi-sztatikus megoldások sorozata) divergens eredményt ad, akkor a rendszer instabil. Ha az iteráció konvergens, akkor a rendszer lehet stabil vagy instabil (a valódi tranzienst mintavételei nem esnek egybe a fenti iterációsorozat eredményeivel, mert a hőkapacitás hatása módosíthatja azt). A 1.2 pont korlátozásait figyelembe véve csak kvázi-sztatikus instabil folyamatoknál adhat használható eredményeket a módszer.

6. Egyéb lehetőségek

Analóg szimulációs programok futtathatók digitális számítógépeken, de az integrálási lépések igen nagy gépidőt igényelnek és a halmozódó numerikus hibák hatása sem tartható kézben.

Az elosztott paraméterű rendszer approximálható koncentrált eleművel (a differenciálegyenleteket differencia egyenletekkel közelítjük). A „Beukenmodell”-lel kapcsolatos kérdéseknek széleskörű irodalma van (pl. [8]). A modell olyan elektromos hálózat, mely ellenállásokat (hőellenállás), áramgenerátorokat (disszipáló elem) és kapacitásokat (hőkapacitás) tartalmaz; a létrejövő feszültség-különbségek hőmérsékletkülönbségnek felelnek meg [4]. A csomópontszám növelésével a közelítés hibája csökken, de az áramkör bonyolultsága nő.

Befejezésül felvetjük, hogy adott esetben érdemes lenne az approximált model vizsgálatát valóban felépített áramkörtől elvégezni, vagy a számításokat hibrid számítógépen lefolytatni.

I R O D A L O M

[1] Paul Gray: A 15-W monolithic power operational amplifier. IEEE J. Solid-State Circuits, vol. SC-7, pp. 474-480. December 1972.  
 [2] A. Bilotti: Static temperature distribution in IC chips with isothermal heat sources. IEEE Transactions on Electron Devices, vol. ED-21, pp. 217-226. March 1974.  
 [3] P. Gray: Analysis of electrothermal integrated circuits. IEEE J. Solid State Circuits, vol. SC-6, pp. 8-14. Febr. 1971.  
 [4] R. Microlet: Interactions thermiques dans les amplificateurs opérationnels à fort gain: Applications au 741. EMI 170/1-4-1973. pp. 61-68.  
 [5] P. Hower-P. Govil: Comparison of one- and two-dimensional models of transistor thermal instability. IEEE Transactions on Electron Devices, vol. ED-21, pp. 617-623. October 1974.  
 [6] Sokolnikoff-Redheffer: Mathematics of physics and modern engineering. Mc Graw-Hill, 1958.  
 [7] Buchanan, Reeber: Thermal considerations in the design of hybrid microelectronic packages, Solid State Technology, vol. 16, pp. 39-43. February 1973.  
 [8] The collection of the papers on the „International Colloquium on field simulation in association with the IV th. international colloquium on the Beuken Model” 18-20 Sept. 1974. London.  
 [9] J. E. Solomon: The monolithic op amps: a tutorial study (invited paper). IEEE J. Solid State Circuits, vol. SC-7, pp. 314-332. December 1974.